

**К 85-ЛЕТИЮ  
ДМИТРИЯ СЕРГЕЕВИЧА ЛУКИНА**

УДК 517.955.8

**АСИМПТОТИКИ ЛОКАЛИЗОВАННЫХ БЕССЕЛЕВЫХ ПУЧКОВ  
И ЛАГРАНЖЕВЫ МНОГООБРАЗИЯ**

© 2023 г. С. Ю. Доброхотов<sup>a</sup>, \*, В. Е. Назайкинский<sup>a</sup>, А. В. Цветкова<sup>a</sup>

<sup>a</sup> Институт проблем механики им. А.Ю. Ишлинского РАН,  
просп. Вернадского, 101, корп. 1, Москва, 119526 Российская Федерация

\*E-mail: s.dobrokhотов@gmail.com

Поступила в редакцию 19.02.2023 г.

После доработки 19.02.2023 г.

Принята к публикации 25.03.2023 г.

Рассмотрены асимптотические решения типа бесселевых пучков трехмерного уравнения Гельмгольца, т.е. решения, имеющие максимумы в окрестности оси  $z$  и описываемые на нормальных к ней плоскостях функциями Бесселя. Поскольку функции Бесселя медленно убывают на бесконечности, то энергия таких решений оказывается неограниченной. Описаны подходы к локализации таких решений, основанные на их представлении в виде канонического оператора Маслова на подходящих лагранжевых многообразиях с простыми каустиками, имеющими вид вырожденных и невырожденных складок. Получены эффективные формулы для указанных решений в виде функций Бесселя и Эйри сложного аргумента.

DOI: 10.31857/S0033849423060037, EDN: XLSMQI

### 1. ПОСТАНОВКА ЗАДАЧИ

В данной работе рассмотрим задачи, определяющие волновые пучки, связанные с функциями Бесселя. Если для описания волновых пучков использовать уравнение Гельмгольца

$$\tilde{\Delta}u + k^2u = 0, \quad \tilde{\Delta} = \frac{\partial^2}{\partial x_1^2} + \frac{\partial^2}{\partial x_2^2} + \frac{\partial^2}{\partial z^2}, \quad (1)$$

то решения, описывающие радиально симметричные пучки, локализованные в окрестности оси  $z$  и называемые пучками Бесселя, представляются в виде

$$u = \exp\left(\frac{i\beta z}{h}\right) J_0\left(\frac{\rho}{h}\right), \quad k^2 = \frac{\beta^2 + 1}{h^2}, \quad (2)$$

где  $J_0$  – функция Бесселя,  $\rho$  – полярный радиус на плоскости  $\mathbb{R}_{x_1, x_2}^2$  (т.е.  $\rho = \sqrt{x_1^2 + x_2^2}$ ),  $h > 0$ ,  $\beta$  – параметры, характеризующие пучок. Поскольку мы считаем, что пучок локализован в окрестности оси  $z = 0$ , то это означает, что параметр  $h$  предполагается малым. В этом случае частота  $k$  оказывается большой, и ее удобно представить в виде  $k = k'/h$  и использовать  $k'$  вместо  $k$  (далее штрих не приводим).

Отметим, что квадрат модуля функции (2) (или ее вещественной части) неинтегрируем в  $\mathbb{R}^3$  и не принадлежит естественному энергетическо-

му пространству, например  $L^2(\mathbb{R}^3)$ . Это обстоятельство затрудняет практическое использование волновых пучков такого типа.

Разумеется, эта проблема не является новой в волновых задачах. Рассмотрим, например, решение одномерного волнового уравнения с постоянной скоростью

$$u_{tt} - c^2 u_{xx} = 0$$

в виде плоской волны

$$u = A \exp\left(\frac{i}{h}\omega\left(t - \frac{x}{c}\right)\right)$$

(или вещественную часть этой функции), где  $A = \text{const}$  – амплитуда,  $\omega/h$  характеризует частоту. Понятно, что квадрат этой функции при каждом  $t$  неинтегрируем, но если мы умножим ее на функцию  $\chi(x - ct)$ , где  $\chi(x)$  – гладкая финитная срезающая функция, равная 1 на некотором отрезке  $[a, b]$  и равная нулю вне некоторого большего отрезка  $[a - \delta, b + \delta]$  ( $\delta > 0$ ), то получим решение (волновой пакет)

$$u = A\chi(x - ct) \exp\left(\frac{i}{h}(\omega t - kx)\right)$$

( $k = \omega/c$  – волновое число), которое уже обладает конечной энергией.

В том случае, когда скорость  $c(x)$  является переменной, решение волнового уравнения в виде

плоской волны найти, как правило, уже нельзя, но у него можно найти быстро осциллирующие асимптотические решения вида

$$u = A(x) \exp\left(\frac{i}{h}(\omega t - S(x))\right),$$

$$S(x) = \int_0^x \frac{\omega}{c(y)} dy, \quad A(x) = \sqrt{c(x)},$$

где  $h > 0$  — малый положительный параметр, характеризующий частоту осцилляций. Локализовать это решение можно, умножив на срезающую функцию  $\chi$ , что дает

$$u = \sqrt{c(x)} \chi(X(x, t)) \exp\left(\frac{i}{h}(\omega t - S(x))\right),$$

$$X(x, t) = S^{-1}(S(x) - \omega t),$$

где  $S^{-1}(y)$  — функция обратная к  $S(x)$ .

Вернемся к вопросу о локализации решения типа (2). Можно попытаться умножить его на некоторую гладкую финитную (срезающую) функцию  $\chi(x_1, x_2, z)$ , однако этот способ не дает нужного результата — получаемая функция перестает быть решением исследуемого уравнения. Причина состоит в том, что с точки зрения квазиклассического приближения и геометрической оптики решение (2) связано с задачами с каустиками и фокальными точками, и тогда срезающая функция, образно говоря, “переплывает” через особенности такого типа, поэтому введение срезающей функции требует более сложных рассуждений.

Изучение особенностей типа каустик и особенностей более общего типа — лагранжевых сингулярностей — относится к области науки, известной как теория катастроф. Ей посвящено большое количество публикаций как чисто математических, так и с приложениями к конкретным физическим задачам, связанным с распространением волн. Среди них укажем работы [1–4], которые содержат обширные библиографии. Рассматриваемые здесь задачи с одной стороны, достаточно просты — каустики имеют вид складки, а с другой — нестандартны, поскольку каустики оказываются вырожденными при проектировании на физическое пространство.

Напомним, что при наличии в задаче каустик и фокальных точек для построения асимптотических решений метод Вентцеля—Крамерса—Бриллюэна (ВКБ) не работает, и поэтому следует применять другие подходы. Мы применим один из самых универсальных и мощных инструментов построения квазиклассических асимптотик — канонический оператор Маслова [5, 6]. При этом будем использовать недавно предложенные его модификации, дающие более эффективные формулы в окрестности каустик и, кроме того, позволяющие расширить класс задач, в которых канонический оператор может быть применен [7].

Также будем использовать простые приемы, которые позволяют выразить канонический оператор в окрестности каустик в виде специальных функций сложного аргумента [8].

## 2. КАНОНИЧЕСКИЙ ОПЕРАТОР НА ЛАГРАНЖЕВОМ МНОГООБРАЗИИ, ОТВЕЧАЮЩЕМ ФУНКЦИЯМ БЕССЕЛЯ, И ИХ “ЛОКАЛИЗАЦИЯ”

Канонический оператор Маслова связан с геометрическими объектами в фазовых пространствах — лагранжевыми многообразиями, которые возникают при исследовании задачи классической гамильтоновой механики, соответствующей исходной задаче в частных производных. Приведем такие многообразия, отвечающие функции Бесселя, кратко повторив для полноты изложения некоторые соображения из [9].

Функции Бесселя  $J_s\left(\frac{\rho}{h}\right)$  являются решением обыкновенного дифференциального уравнения Бесселя, но нам удобнее ввести функции  $J_s\left(\frac{\rho}{h}\right) \exp(is\phi)$  ( $\phi$  — полярный угол) и рассмотреть их как овместное решение спектральных задач для коммутирующих операторов с частными производными — оператора Лапласа и оператора углового момента

$$\hat{p}^2 w \equiv -h^2 \Delta w = w,$$

$$\hat{M}w \equiv (x_2 \hat{p}_1 - x_1 \hat{p}_2) w = \gamma w,$$

$$\hat{p}_j = -ih \frac{\partial}{\partial x_j}, \quad \gamma = sh.$$

Операторам  $\hat{H} = \hat{p}_1^2 + \hat{p}_2^2$  и  $\hat{M}$  соответствуют символы  $H = p_1^2 + p_2^2$  и  $M = x_2 p_1 - x_1 p_2$ , определяющие два гамильтониана в четырехмерном фазовом пространстве  $\mathbb{R}_{p,x}^4$  с координатами  $\mathbf{p} = (p_1, p_2)$ ,  $\mathbf{x} = (x_1, x_2)$ . Как видим, скобка Пуассона  $\{H, M\} = 0$  и, согласно теореме Лиувилля, множество  $\Lambda^B(\gamma) = \{(\mathbf{p}, \mathbf{x}) \in \mathbb{R}_{p,x}^4 : H = 1, M = \gamma\}$  определяет двумерное лагранжево многообразие, инвариантное относительно сдвигов  $g_H^t, g_M^\tau$  вдоль траекторий гамильтоновых систем с гамильтонианами  $H$  и  $M$ . Это многообразие некомпактно и топологически представляет собой двумерный “лиувиллев” цилиндр в  $\mathbb{R}_{p,x}^4$ , который можно записать в виде

$$\Lambda^B = \{\mathbf{p} = \mathbf{P}^B(\alpha, \psi) = \mathbf{n}(\psi),$$

$$\mathbf{x} = \mathbf{X}^B(\alpha, \psi) = \alpha \mathbf{n}(\psi) - \gamma \mathbf{n}'(\psi) | \alpha \in \mathbb{R}, \in [0, 2\pi)\},$$

$$\mathbf{n}(\psi) = \begin{pmatrix} \cos \psi \\ \sin \psi \end{pmatrix}.$$

Параметры  $\alpha, \psi$  определяют координаты на многообразии  $\Lambda^B$ . Зададим на  $\Lambda^B$  некоторую гладкую ( $2\pi$ -периодическую по  $\psi$ ) функцию  $A(\alpha, \psi)$ . Кроме того, зафиксируем на  $\Lambda^B$  (центральную) точку  $(\alpha = +0, \psi = 0)$ . Якобиан  $J^B = \det \frac{\partial \mathbf{X}^B}{\partial (\alpha, \psi)}$

проектирования многообразия  $\Lambda^B$  на физическую плоскость  $\mathbb{R}_x^2$  равен  $\alpha$ . В случае, когда  $\gamma \neq 0$ , равенство  $\alpha = 0$  определяют окружность

$$\Gamma = \{\mathbf{p} = \mathbf{n}(\psi), \mathbf{x} = -\gamma \mathbf{n}'(\psi)\} \in \Lambda^B \in \mathbb{R}_{\mathbf{p}, \mathbf{x}}^4,$$

и ее проекция  $\Gamma_x = \{\mathbf{x} = -\gamma \mathbf{n}'(\psi)\} \in \mathbb{R}_x^2$  на плоскость  $\mathbb{R}_x^2$  также является окружностью. Кривая  $\Gamma_x$  – это простая каустика типа складки [1, 2]. Однако в случае  $\gamma = 0$  особое множество вырождается в точку  $\mathbf{x} = 0$  – “вырожденную складку”.

Проекция многообразия  $\Lambda^B$  на физическую плоскость  $\mathbb{R}_x^2$  двулисто накрывает двумерную плоскость с удаленной внутренностью круга  $|\mathbf{x}| < \gamma$ . В данной работе нас интересует вырожденный случай  $\gamma = 0$ , тогда проекция  $\Lambda^B$  в физическое пространство – это две склеенные в точке  $\mathbf{x} = 0$  плоскости.

Нам потребуется фаза на  $\Lambda^B$

$$S = \int_{(+0,0)}^{(\alpha, \psi)} \langle \mathbf{P}^B, d\mathbf{X}^B \rangle = \alpha$$

и индекс Маслова  $m(\alpha, \psi)$  пути, соединяющего центральную точку  $(\alpha = +0, \psi = 0)$  с точкой  $(\alpha, \psi)$ :

$$m = \frac{1}{\pi} \lim_{\varepsilon \rightarrow +0} \arg \det \left( \frac{\partial (\mathbf{X} - i\varepsilon \mathbf{P})}{\partial (\alpha, \psi)} \right)_{(+0,0)}^{(\alpha, \psi)} = \\ = \frac{1}{\pi} \lim_{\varepsilon \rightarrow +0} \arg (\alpha - i\varepsilon) = \begin{cases} 0, & \alpha > 0 \\ -1, & \alpha < 0 \end{cases}.$$

В силу этого факта индекс Маслова замкнутых путей на  $\Lambda^B$  равен 0: замкнутый путь можно выбрать с  $\alpha \neq 0$ , тогда приращение аргумента якобиана равно 0, что и означает, что индекс равен нулю. У каждой точки  $\mathbf{x} \neq 0$ , такой что  $\mathbf{x} = \rho \mathbf{n}(\phi)$  ( $\rho > 0$ ,  $\phi \in [0, 2\pi]$  – полярные координаты) на плоскости  $\mathbb{R}_x^2$  существует два прообраза на лагранжевом многообразии  $\Lambda^B$  с координатами

$$\alpha^+ = \rho, \quad \psi^+ = \phi \quad \text{и} \quad \alpha^- = -\rho, \quad \psi^- = \phi + \pi.$$

Знак “+” соответствует верхнему листу многообразия  $\Lambda^B$ , а знак “–” – нижнему.

Построим функцию  $w$  в виде канонического оператора Маслова  $K_{\Lambda^B}^h[A]$ . Классическая конструкция канонического оператора предполагает покрытие лагранжева многообразия картами (областями)  $\Omega_j$ , в которых не обращается в ноль один из якобианов проектирования на канонические плоскости со смешанными координатно-импульсными переменными, последующее построение локальных “предканонических операторов” и их суммирование. В случае особых карт, т.е. когда якобиан

$J^B = \det \frac{\partial \mathbf{X}^B}{\partial (\alpha, \psi)}$  обращается в ноль на подмноже-

стве карты  $\Omega_j$ , предканонический оператор определяется в виде интеграла по импульсным переменным. В рассматриваемом примере карт, по меньшей мере, четыре и все они особые [10]. В работе [7] предложены новые интегральные представления для предканонических операторов, основанные на интегрировании сразу по части подходящих координат на лагражевом многообразии. Такие представления, во-первых, часто упрощают вычисление интегралов, во-вторых, сокращают число карт и, в-третьих, позволяют расширить класс задач, асимптотические решения которых можно найти с помощью канонического оператора.

Применение модифицированных формул для канонического оператора в рассматриваем примере дает такое представление [9]:

$$w = K_{\Lambda^B}^h A = \frac{\exp\left(\frac{i\pi}{4}\right)}{\sqrt{2\pi h}} \times \\ \times \int_0^{2\pi} e^{\exp\left(\frac{i}{h} \langle \mathbf{n}(\psi), \mathbf{x} \rangle\right)} A(\langle \mathbf{n}(\psi), \mathbf{x} \rangle, \psi) d\psi. \quad (3)$$

Если выбрать  $A = 1$ , то, очевидно, получим

$$w = K_{\Lambda^B}^h 1 = \frac{\sqrt{2\pi} \exp\left(\frac{i\pi}{4}\right)}{\sqrt{h}} J_0\left(\frac{|\mathbf{x}|}{h}\right). \quad (4)$$

Вместе с тем из общих свойств канонического оператора следует, что при  $h \ll 1$  носитель функции  $w$  совпадает с проекцией носителя  $\text{supp } A(\alpha, \psi)$  на физическую плоскость  $\mathbb{R}_x^2$ . Поэтому, выбирая  $A$  финитной по переменной  $\alpha$ , получим уже локализованную функцию. Задача состоит в том, чтобы выразить (3) через специальные функции. Имеется несколько способов вывода соответствующих формул [8, 11], мы используем простой “наивный” способ, основанный на сравнении асимптотик функций Бесселя и ВКБ асимптотики канонического оператора вне окрестности фокальной точки.

Именно, с учетом равенств для  $S, J^B, m$ , используя стандартную ВКБ-формулу (в неособой карте) для функции (3), при  $|\mathbf{x}| \geq \delta > 0$  получим

$$\begin{aligned} w &= \exp\left(-\frac{im(\alpha^+)\pi}{2}\right) \frac{A(\alpha^+, \psi^+)}{\sqrt{|J^B(\alpha^+, \psi^+)|}} \times \\ &\times \exp\left(\frac{iS(\alpha^+, \psi^+)}{h}\right) + \exp\left(-\frac{im(\alpha^-)\pi}{2}\right) \times \\ &\times \frac{A(\alpha^-, \psi^-)}{\sqrt{|J^B(\alpha^-, \psi^-)|}} \exp\left(\frac{iS(\alpha^-, \psi^-)}{h}\right) = \quad (5) \\ &= \exp\left(\frac{i\pi}{4}\right) \left( \frac{A(\rho, \varphi)}{\sqrt{\rho}} \exp\left(\frac{i}{h}\rho - \frac{i\pi}{4}\right) + \right. \\ &\left. + \frac{A(-\rho, \varphi + \pi)}{\sqrt{\rho}} \exp\left(-\frac{i}{h}\rho + \frac{i\pi}{4}\right) \right). \end{aligned}$$

Между тем в малой окрестности начала координат (фокальной точки) функцию (3) можно представить в виде комбинации функций Бесселя и, возможно, ее производной, т.е. функции  $J_1$  [11]. Такое представление порождает анзац для асимптотики решения в виде

$$w = a_1(\mathbf{x}, h) J_0(\Phi(\mathbf{x}, h)) + ia_2(\mathbf{x}, h) J_1(\Phi(\mathbf{x}, h)), \quad (6)$$

где  $\Phi(\mathbf{x}, h), a_j(\mathbf{x}, h)$  – некоторые гладкие при  $|\mathbf{x}| > 0$  функции, причем  $\Phi(\mathbf{x}, h) > 0$  при  $|\mathbf{x}| > 0$ .

Для получения такого анзаца и его дальнейшей реализации используем подход, апеллирующий к лагранжеву многообразию и возможности представления канонического оператора в окрестности каустик в виде некоторых специальных функций, а не такие подходы, как метод эталонных уравнений или метод сращивания асимптотических разложений. Иначе говоря, мы упрощаем ответ, полученный в виде канонического оператора, используя общий подход, находящийся в рамках теории функций. Конкретные дифференциальные уравнения проявляются при построении подходящих лагранжевых многообразий.

Укажем еще на некоторые важные факты. Хотя представление (5) не работает в фокальных точках, где  $J^B = 0$ , сами функции  $J^B(\alpha^\pm, \psi^\pm)$ ,  $S(\alpha^\pm, \psi^\pm)$ ,  $A(\alpha^\pm, \psi^\pm)$  определены, как функции от  $(x_1, x_2)$ , при этом анзац (6) работает в достаточно широкой окрестности нулей функции  $\Phi(\mathbf{x}, h)$  (подробнее см. далее замечание 4). Таким образом, сравнивая асимптотику (6) с ВКБ-асимптотикой (5) в неособой области (где  $\rho \neq 0$ ), можно получить выражения для  $\Phi, a_{1,2}$  через  $S, J^B$  и  $A$ . Именно, считая, что при отходе от точки  $\mathbf{x} = 0$  фаза возрастает, можно заменить функции Бесселя на их асимптотики, что дает

$$\begin{aligned} w &\approx a_1(\mathbf{x}, h) \sqrt{\frac{2}{\pi\Phi(\mathbf{x}, h)}} \cos\left(\Phi(\mathbf{x}, h) - \frac{\pi}{4}\right) + \\ &+ ia_2(\mathbf{x}, h) \sqrt{\frac{2}{\pi\Phi(\mathbf{x}, h)}} \sin\left(\Phi(\mathbf{x}, h) - \pi/4\right) = \\ &= \sqrt{\frac{2}{\pi\Phi(\mathbf{x}, h)}} \left( \frac{a_1(\mathbf{x}, h) + a_2(\mathbf{x}, h)}{2} \times \right. \\ &\times \exp\left(i\Phi(\mathbf{x}, h) - \frac{i\pi}{4}\right) + \frac{a_1(\mathbf{x}, h) - a_2(\mathbf{x}, h)}{2} \times \\ &\left. \times \exp\left(-i\Phi(\mathbf{x}, h) + \frac{i\pi}{4}\right) \right). \quad (7) \end{aligned}$$

Чтобы определить функции  $\Phi, a_j$ , сравним (7) и (5), откуда находим

$$\begin{aligned} \Phi &= \frac{\rho}{h}, \quad a_1 = \frac{\exp\left(\frac{i\pi}{4}\right)\sqrt{\pi}}{\sqrt{2h}} \times \\ &\times (A(\rho, \varphi) + A(-\rho, \varphi + \pi)), \\ a_2 &= \frac{\exp\left(\frac{i\pi}{4}\right)\sqrt{\pi}}{\sqrt{2h}} (A(\rho, \varphi) - A(-\rho, \varphi + \pi)). \end{aligned}$$

Таким образом, мы пришли к следующему утверждению.

*Утверждение 1.* Справедливо представление

$$\begin{aligned} w &= K_{\Lambda^B}^h A = \frac{\exp\left(\frac{i\pi}{4}\right)\sqrt{\pi}}{\sqrt{2h}} \times \\ &\times \left( (A(\rho, \varphi) + A(-\rho, \varphi + \pi)) J_0\left(\frac{\rho}{h}\right) + \right. \\ &\left. + i(A(\rho, \varphi) - A(-\rho, \varphi + \pi)) J_1\left(\frac{\rho}{h}\right) \right). \quad (8) \end{aligned}$$

*Замечание 1.* Если  $A \equiv 1$ , то (8) совпадает с представлением (4).

*Замечание 2.* Если выбрать функцию  $A$  финитной, то и функция (8) также будет финитной.

*Замечание 3.* Отметим, что полученная функция гладко зависит от переменных  $(x_1, x_2)$ . Этот факт легко установить в радиально симметричном случае, когда  $A$  зависит только от  $\alpha$ . Действительно, в этом случае  $a_1$  и  $a_2/\rho$ , а также  $J_0(\rho/h)$  и  $\rho J_1(\rho/h)$  – четные по  $\rho$  функции. В случае, когда  $A$  зависит также и от  $\varphi$ , раскладывая в ряд Фурье, получаем гладкие по  $(x_1, x_2)$  функции:

$$\begin{aligned} A(\rho, \varphi) + A(-\rho, \varphi + \pi) &= \frac{c_0(\rho) + c_0(-\rho)}{2} + \\ &+ \sum_{n=1}^{\infty} [\rho(c_n(\rho) + (-1)^n c_n(-\rho)) \cos(n\varphi) + \\ &+ (d_n(\rho) + (-1)^n d_n(-\rho)) \sin(n\varphi)], \end{aligned}$$

$$\begin{aligned} \rho(A(\rho, \varphi) - A(-\rho, \varphi + \pi)) &= \rho \frac{c_0(\rho) - c_0(-\rho)}{2} + \\ &+ \sum_{n=1}^{\infty} [\rho(c_n(\rho) - (-1)^n c_n(-\rho)) \cos(n\varphi) + \\ &+ (d_n(\rho) - (-1)^n d_n(-\rho)) \sin(n\varphi)]. \end{aligned}$$

**Замечание 4.** Отметим также, что формулу (8) можно было получить, опираясь на модифицированные интегральные представления для канонического оператора и формулу коммутации канонического оператора с псевдодифференциальным [10]. Здесь же мы, по существу, воспользовались тем фактом, что уравнения  $\mathbf{p} = \mathbf{n}(\psi)$ ,  $\mathbf{x} = \alpha \mathbf{n}(\psi)$  локально задают нормальную форму в окрестности вырожденных особенностей лагранжевых многообразий типа складки. В окрестности таких особенностей канонический оператор представляется в виде функций Бесселя, что позволяет в результате простого сравнения асимптотик функций Бесселя и ВКБ получать глобальные формулы. Такой подход кажется нам более простым и легко алгоритмизируемым. Поэтому будем использовать его и далее, учитывая соображение о нормальных формах.

### 3. ЛОКАЛИЗОВАННЫЕ БЕССЕЛЕВЫ ПУЧКИ В ТРЕХМЕРНОМ СЛУЧАЕ

Обсудим теперь вопрос о бесселевых пучках в трехмерном случае. В некоторых случаях, чтобы получить формулы для пучков, можно использовать комплексный метод ВКБ и его модификации [12]. Однако здесь обсудим более простой путь, не вполне аккуратный с математической точки зрения, но конструктивный и эффективный с точки зрения конкретных вычислений, который состоит в следующем. Пучки являются (асимптотическими) решениями уравнения Гельмгольца (1), удовлетворяющими при  $z = 0$  условию

$$u|_{z=0} = w = K_{\Lambda_B}^h[A(\alpha)]. \quad (9)$$

Будем считать, что  $A(\alpha)$  – финитная функция, причем для простоты будем считать, что она не зависит от  $\psi$ . Решение задачи (1), (9) не единственное: можно найти два решения, описывающие пучки, условно говоря, распространяющиеся в разные стороны вдоль оси  $z$ , и нужно добавить еще одно условие, выделяющее один из пучков. Но формально можно представить уравнения Гельмгольца в виде (напомним, что здесь и далее в качестве  $k$  мы берем  $k' = hk$  и опускаем штрихи)

$$\left( ih \frac{\partial}{\partial z} + \sqrt{k^2 + h^2 \Delta} \right) \left( ih \frac{\partial}{\partial z} - \sqrt{k^2 + h^2 \Delta} \right) u = 0. \quad (10)$$

Тогда решения, описывающие волны, бегущие в одну сторону, будут удовлетворять одному из псевдодифференциальных уравнений

$$-ih \frac{\partial u}{\partial z} = \pm \sqrt{k^2 + h^2 \Delta} u. \quad (11)$$

Переменная  $z$  играет роль времени, причем производная по  $z$  входит в эти уравнения в первой степени и они в некотором смысле аналогичны уравнениям Шредингера. Интересующее нас решение является решением задачи Коши для (11) с начальным условием (9). Эти уравнения являются некорректными, но их использование как вспомогательных для вычисления квазиклассических асимптотик уравнения Гельмгольца с заданными граничными условиями представляется очень удобным: для получения квазиклассических асимптотик решения задачи Коши имеется простой конструктивный алгоритм [6]. Проще говоря, некорректность не проявляется на классе конструируемых асимптотических решений и, после того как асимптотическое решение  $u$  задачи Коши (9), (11) будет построено, его прямая подстановка в уравнение Гельмгольца дает малую невязку по параметру  $h$ . То есть получаемая функция является, по крайней мере, формальным асимптотическим решением уравнения Гельмгольца.

Ограничимся в дальнейшем уравнением со знаком “+”, уравнение со знаком “–” рассматривается аналогично. Для построения асимптотических решений задачи (11), (9) воспользуемся стандартной схемой [5, 6], состоящей из следующих шагов. Символ оператора  $-\sqrt{k^2 + h^2 \Delta}$  – классический гамильтониан  $L = -\sqrt{k^2 - |\mathbf{p}|^2}$  – и начальное условие (9) порождают задачу Коши для гамильтоновой системы:

$$\dot{\mathbf{p}} = \frac{\partial \mathbf{p}}{\partial z} = 0, \quad \dot{\mathbf{x}} = \frac{\partial \mathbf{x}}{\partial z} = \frac{\mathbf{p}}{\sqrt{k^2 - |\mathbf{p}|^2}}, \quad (12)$$

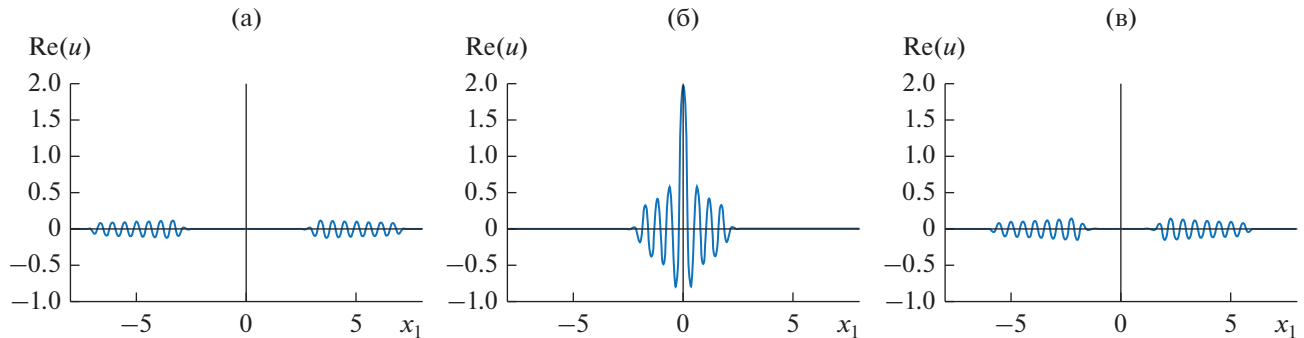
с начальными условиями из  $\Lambda^B$

$$\mathbf{p}|_{z=0} = \mathbf{n}(\psi), \quad \mathbf{x}|_{z=0} = \alpha \mathbf{n}(\psi).$$

Ее решения определяют фазовый поток  $g_L^z$  и дают семейство лагранжевых многообразий  $\Lambda_z^B = g_L^z \Lambda^B$ , полученных сдвигом начального многообразия  $\Lambda^B$  на время  $z$

$$\begin{aligned} \Lambda_z^B &= \left\{ \mathbf{p} = \mathbf{P}_z(\alpha, \psi) \equiv \mathbf{n}(\psi), \mathbf{x} = \mathbf{X}_z(\alpha, \psi) \equiv \right. \\ &\equiv \left. \left( \alpha + \frac{z}{\sqrt{k^2 - 1}} \right) \mathbf{n}(\psi) \right\}. \end{aligned} \quad (13)$$

Как видим, многообразия  $\Lambda_z^B$  совпадают, как геометрические объекты, т.е.  $\Lambda^B$  инвариантно отно-



**Рис. 1.** Действительная часть локализованного пучка Бесселя (14) в зависимости от  $x_1$  при  $x_2 = 0$  для  $z = -2$  (а), 0 (б) и 1.5 (в).

сительно сдвигов  $g_L^z$ . Амплитуда  $A$  сохраняется вдоль траекторий системы (12), поэтому на лагранжевых многообразиях  $\Lambda_z^B$  амплитуда равна  $A(\alpha)$ . Поскольку фаза, как решение уравнения эйконала, определяется неоднозначно, а с точностью до некоторой функции, зависящей от  $z$ , необходимо определить набег фазы в асимптотике рассматриваемого решения. Он определяется интегралом

$$\phi = \int_0^z (\langle \mathbf{p}, L_{\mathbf{p}} \rangle - L) dz = z \frac{k^2}{\sqrt{k^2 - 1}}.$$

Координаты  $(\alpha, \psi)$  можно использовать на всех многообразиях  $\Lambda_z^B$ . Тогда согласно общей теории [5, 6] решение задачи Коши (11), (9) представляется в виде

$$u = \exp\left(\frac{i}{h} \frac{zk^2}{\sqrt{1-k^2}}\right) K_{\Lambda_z^B}^h [A(\alpha)],$$

причем в качестве центральной точки на  $\Lambda_z^B$  выбирается точка с координатами  $(0+, 0)$ , как и на начальном многообразии. Переидем в последней формуле к координатам

$$(\alpha', \psi) = \left( \alpha + \frac{z}{\sqrt{k^2 - 1}}, \psi \right).$$

Поскольку в старой системе координат центральная точка имела координаты  $\alpha = +0$ ,  $\psi = +0$ , то в новой системе координат центральная точка будет иметь координаты  $\alpha' = +\frac{z}{\sqrt{k^2 - 1}}$ ,  $\psi = +0$ . Далее воспользуемся тем, что смена отмеченной точки дает дополнительный фазовый множитель, т.е. канонический оператор Маслова на лагранжевом многообразии  $\Lambda_z^B$  с отмеченной точкой  $\left(+\frac{z}{\sqrt{k^2 - 1}}, +0\right)$  равен каноническому оператору

Маслова на лагранжевом многообразии  $\Lambda_z^B$  с отмеченной точкой  $(+0, +0)$ , умноженному на  $\exp\left(-\frac{iz}{h\sqrt{k^2 - 1}}\right)$ . Учитывая эти соображения, полученный ранее фазовый множитель  $\exp\left(\frac{i\phi}{h}\right)$ , а также тот факт, что  $\Lambda_z^B$  в новых координатах совпадает с  $\Lambda^B$ , приходим к окончательной формуле

$$\begin{aligned} u &= \exp\left(\frac{iz\sqrt{k^2 - 1}}{h}\right) K_{\Lambda_z^B}^h \left[ A\left(\alpha' - \frac{z}{\sqrt{k^2 - 1}}\right) \right] = \\ &= \exp\left(\frac{iz\sqrt{k^2 - 1}}{h}\right) \frac{\sqrt{\pi} e^{i\pi/4}}{\sqrt{2h}} \times \\ &\quad \times \left( \left( A\left(\rho - \frac{z}{\sqrt{k^2 - 1}}\right) + A\left(-\rho - \frac{z}{\sqrt{k^2 - 1}}\right) \right) J_0\left(\frac{\rho}{h}\right) + \right. \\ &\quad \left. + i \left( A\left(\rho - \frac{z}{\sqrt{k^2 - 1}}\right) - A\left(-\rho - \frac{z}{\sqrt{k^2 - 1}}\right) \right) J_1\left(\frac{\rho}{h}\right) \right). \end{aligned} \quad (14)$$

Она определяет асимптотические решения, описывающие локализованные бесселевые пучки уравнения Гельмгольца. Полученное решение проиллюстрировано на рис. 1.

*Замечание 5.* В теории волновых пучков часто используется параксиальное приближение. Напомним простой вывод соответствующего уравнения в рассматриваемом случае. Можно искать решение в виде

$$u = \exp\left(\frac{ikz}{h}\right) v(z, x_1, x_2)$$

и считать, что амплитудная функция  $v$  меняется медленно по сравнению с быстроосцилирующей плоской волной. Тогда, подставляя решение такого вида в (1), можно пренебречь второй производной  $\frac{\partial^2 v}{\partial z^2}$ , откуда приходим к уравнению Шредингера

$$-ih \frac{\partial}{\partial z} v = \frac{h^2}{2k} \Delta v. \quad (15)$$

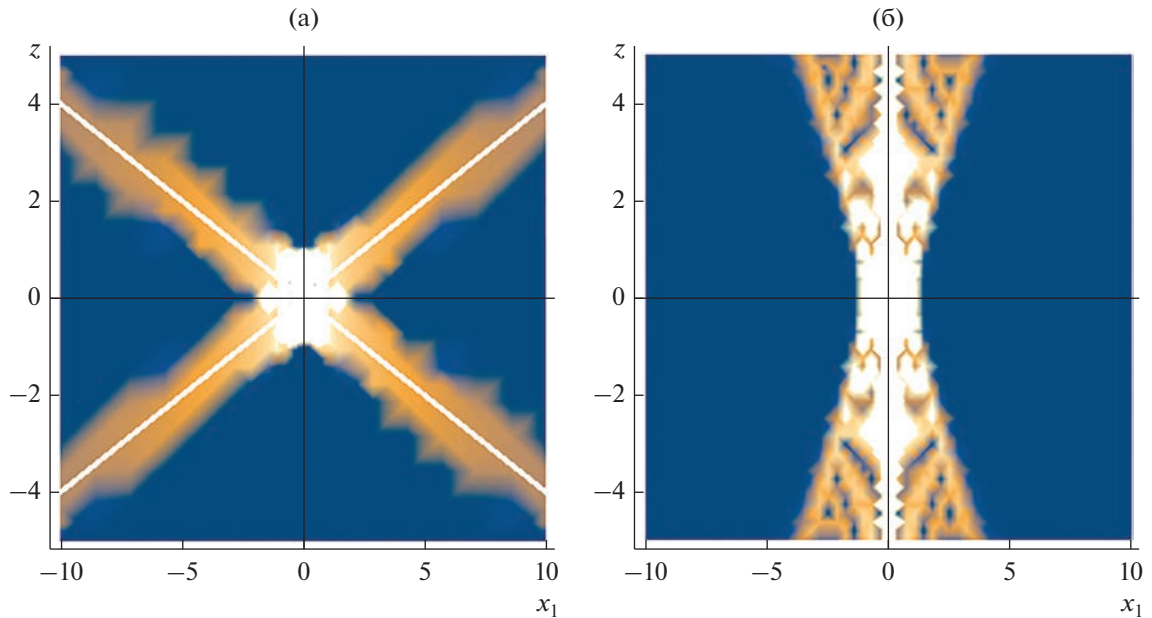


Рис. 2. Интенсивность локализованного пучка Бесселя (14) при  $x_2 = 0$  (а) и пучка Лагерра–Гаусса (39) при  $x_2 = 0$  (б): чем больше модуль значения, тем более светлый цвет.

(Это же уравнение можно получить, по крайней мере формально, из (11) в результате представления в (11) оператора

$$\sqrt{k^2 - h^2 \Delta} = k - \frac{1}{2k} h^2 \Delta + O(1/k^3)$$

и последующего выделения из решения множителя  $\exp(ikz/h)$ .)

Асимптотика решения  $v(z, x)$  задачи (15) с начальным условием (9) определяется каноническим оператором  $K_{\tilde{\Lambda}_z^B}^h A$ , где  $\tilde{\Lambda}_z^B$  получен сдвигом  $\Lambda^B$  вдоль гамильтонова векторного поля с гамильтонианом  $\tilde{L} = \frac{1}{2k} |\mathbf{p}|^2$  и принимает вид

$$\tilde{\Lambda}_z^B = \left\{ \mathbf{x} = \left( \alpha + \frac{z}{k} \right) \mathbf{n}(\psi), \mathbf{p} = \mathbf{n}(\psi) \right\}.$$

Таким образом, в параксиальном приближении

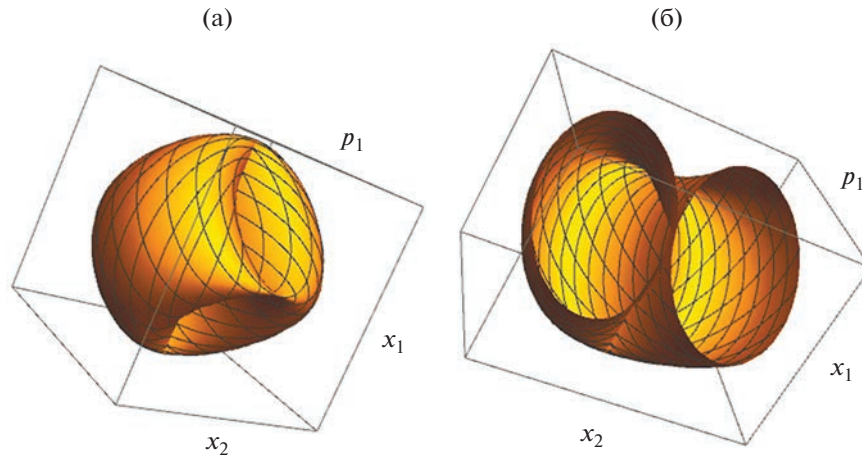
$$\begin{aligned} u &\approx \exp\left(\frac{ikz}{h}\right) K_{\tilde{\Lambda}_z^B}^h [A] \approx \\ &\approx \exp\left(\frac{izk}{h} \left(1 - \frac{1}{2k^2}\right)\right) \frac{\sqrt{\pi} \exp\left(\frac{i\pi}{4}\right)}{\sqrt{2h}} \times \\ &\times \left( \left( A\left(\rho - \frac{z}{k}\right) + A\left(-\rho - \frac{z}{k}\right) \right) J_0\left(\frac{\rho}{h}\right) + \right. \\ &+ \left. i \left( A\left(\rho - \frac{z}{k}\right) - A\left(-\rho - \frac{z}{k}\right) \right) J_1\left(\frac{\rho}{h}\right) \right), \end{aligned}$$

что близко к решению (14) при больших  $k$ .

#### 4. “СИЛЬНАЯ” ЛОКАЛИЗАЦИЯ БЕССЕЛЕВЫХ ПУЧКОВ И АСИМПТОТИКА ПУЧКОВ ЛАГЕРРА–ГАУССА В РАДИАЛЬНО-СИММЕТРИЧНОМ СЛУЧАЕ

Как отмечено выше, проведенная локализация бесселевых пучков имеет такое свойство, что чем сильнее их локализация, тем на меньшем отрезке оси  $z$  их амплитуда не обращается в ноль. Вместе с тем хорошо известно, что гауссовы пучки распространяются на далекие расстояния, не сильно расплываясь. При этом, если в нормальной плоскости к оси распространения  $z$  имеются осцилляции, то возникают известные пучки Лагерра–Гаусса (подробнее, а также про другие классы пучков см. [13, 14]). Мы хотим показать, что такие пучки также представляют собой локализацию бесселевых пучков, но уже другого типа. При этом, в отличие от локализованных пучков Бесселя, которые при движении вдоль оси  $z$  сначала собираются, фокусируются, а затем расплываются (рис. 2а, ось  $z$  направлена вверх), пучки Лагерра–Гаусса практически не расплываются, а распространяются в канале (рис. 2б).

Отметим, что медленное затухание бесселевых пучков в направлении, нормальному к оси  $z$ , имеет геометрическую природу: лагранжево многообразие  $\Lambda^B$  не компактно, поэтому (асимптотический) носитель канонического оператора  $K_{\Lambda^B}$  – это двумерная плоскость. Напомним, что лагранжево многообразие  $\Lambda^B$  представляет собой совместную поверхность уровня гамильтонианов

Рис. 3. Лагранжево многообразие  $\Lambda^L$  (а) и его сечение (б).

$H = p_1^2 + p_2^2$  и  $M = p_1x_2 - p_2x_1$  и некомпактность связана с гамильтонианом  $H$ . Заменим первый гамильтониан на гамильтониан гармонического осциллятора  $\mathcal{H} = p_1^2 + p_2^2 + \sigma_0^2(x_1^2 + x_2^2)$ , тогда задаваемая константами  $\mathcal{E} > 0, \gamma \geq 0$  поверхность уровня

$$\mathcal{H} = \mathcal{E}, \quad M = \gamma \quad (16)$$

— это ограниченное множество, представляющее при  $\gamma \neq 0$  двумерный тор Лиувилля (двумерное лагранжево многообразие)  $\Lambda^L$  (рис. 3). Вместо энергии  $\mathcal{E}$  удобно использовать другой параметр  $R_0 = \frac{\sqrt{\mathcal{E}}}{\sigma_0}$ , тогда проекция  $\Lambda^L$  на двумерную плоскость  $\mathbb{R}_x^2$  двулистно накрывает кольцо с границами-окружностями  $\rho \equiv |\mathbf{x}| = \gamma$  и  $|\mathbf{x}| = R_0$ . В радиально симметричном случае  $\gamma = 0$ , т.е. внутренняя граница стягивается в точку,  $\Lambda^L$  превращается в вырожденный тор, проекция  $\Lambda^L$  на физическую плоскость  $\mathbb{R}_x^2$  становится кругом и, в отличие от проекции  $\Lambda^B$ , является ограниченным множеством. При этом, забегая вперед, скажем, что его граница — окружность  $|\mathbf{x}| = R_0$  — это простая каустика, а точка  $\mathbf{x} = 0$ , как и в случае многообразия  $\Lambda^B$ , это сильная фокальная точка, представляющая собой вырожденную простую каустику. Именно этот случай с  $\gamma = 0$  будем рассматривать далее.

Схема дальнейших рассуждений аналогична, используемой в разд. 3. Сначала строим канонический оператор Маслова, отвечающий многообразию  $\Lambda^L$ , причем ограничиваемся радиально симметричным случаем и представляем его в виде функций Бесселя и Эйри. При квантовании симво-

лов гамильтонианов  $\mathcal{H}$  и  $M$  получаем двумерный оператор Шредингера  $\hat{\mathcal{H}}$  для радиально симметричного гармонического осциллятора и двумерный оператор  $\hat{M}$  момента. Поэтому построенные функции представляют собой асимптотики при больших номерах радиально симметричных собственных функций оператора  $\hat{\mathcal{H}}$ , которые, как известно, представляются в виде функций Гаусса—Лагерра.

Затем строим асимптотические решения задачи Коши с начальными условиями в виде канонического оператора, заданного на многообразии  $\Lambda^L$ . Для упрощения вычислений вместо уравнения (11) мы используем его параксиальное приближение. Именно, будем искать решение трехмерного уравнения Гельмгольца в виде

$$u = \exp\left(-\frac{ikz}{\hbar}\right)v(z, \mathbf{x}),$$

пренебрегая второй производной  $\frac{\partial^2 v}{\partial z^2}$ . Получим задачу Коши для уравнения Шредингера

$$-i\hbar \frac{\partial v}{\partial z} = -\frac{1}{2k} \hbar^2 \Delta v, \quad v|_{z=0} = K_{\Lambda^L}[1]. \quad (17)$$

Тогда асимптотика решения при произвольном  $z$  определяется каноническим оператором  $K_{\Lambda_z^L}[1]$ , где  $\Lambda_z^L = g_{\mathcal{L}}^z(\Lambda^L)$  получено сдвигом вдоль гамильтонова векторного поля с гамильтонианом  $\mathcal{L} = -\frac{1}{2k}|\mathbf{p}|^2$  (представление для полученного канонического оператора в виде специальных функций будет приведено ниже). Поскольку носитель полученного асимптотического решения в плоскостях, нормальных к оси  $z$ , — ограниченное множество, то никаких срезающих функций в этой конструкции использовать не нужно.

*Замечание 6.* Отметим, что здесь, как и в предыдущем разделе, вместо параксиального приближения можно использовать представление (11) для уравнения Гельмгольца и сдвигать начальное многообразие  $\Lambda^L$  вдоль траекторий соответствующих гамильтоновых систем. При этом полученное многообразие будет иметь особенности того же типа, что и  $\Lambda_z^L$ , однако вычисления оказываются более сложными, что, видимо, приводит к более громоздким формулам. Мы планируем подробно изучить этот вопрос в дальнейших работах.

#### 4.1. Лагранжево многообразие для двумерного радиально симметричного гармонического осциллятора

Опишем подробно многообразие  $\Lambda^L$ , объекты на нем и построим отвечающий им канонический оператор.

*Утверждение 2* состоит из семи тезисов.

1. Множество  $\Lambda^L$  в четырехмерном фазовом пространстве  $\mathbb{R}_{\mathbf{p}, \mathbf{x}}^4$ , задаваемое равенствами (16), — гладкое двумерное лагранжево многообразие, которое может быть описано равенствами

$$\begin{aligned} \Lambda^L = \{\mathbf{p} = \mathbf{P}^L(\alpha, \beta) &= -R_0 \sigma_0 \mathbf{n}(\alpha + \beta) \sin \beta, \\ \mathbf{x} = \mathbf{X}^L(\alpha, \beta) &= \\ &= R_0 \mathbf{n}(\alpha + \beta) \cos \beta, \alpha \in (-\pi, \pi], \beta \in [0, \pi)\}, \end{aligned} \quad (18)$$

где, как и раньше,  $\mathbf{n}(\psi) = (\cos \psi, \sin \psi)^T$  — единичный вектор.

2. В качестве инвариантной (относительно потоков  $g_{\mathcal{H}}^t$  и  $g_M^\tau$ ) меры можно выбрать  $d\alpha \wedge d\beta$ . Действительно, при действии фазового потока  $g_{\mathcal{H}}^t$  получаем

$$\begin{aligned} g_{\mathcal{H}}^t(\Lambda^L) = \{\mathbf{p} &= -R_0 \sigma_0 \mathbf{n}(\alpha + \beta) \sin(\beta + \sigma_0 t), \\ \mathbf{x} &= R_0 \mathbf{n}(\alpha + \beta) \cos(\beta + \sigma_0 t)\}, \end{aligned}$$

т.е. координата  $\beta$  сдвигается на  $\sigma_0 t$ , а координата  $\alpha$  сдвигается на  $-\sigma_0 t$ .

При действии фазового потока  $g_M^\tau$  имеем

$$\begin{aligned} g_M^\tau(\Lambda^L) = \{\mathbf{p} &= -R_0 \sigma_0 \mathbf{n}(\alpha + \beta + \tau) \sin \beta, \\ \mathbf{x} &= R_0 \mathbf{n}(\alpha + \beta + \tau) \cos \beta\}, \end{aligned}$$

т.е. координата  $\alpha$  сдвигается на  $\tau$ .

3. Матрицы Якоби  $\frac{\partial(X_1^L, X_2^L)}{\partial(\alpha, \beta)}$ ,  $\frac{\partial(P_1^L, P_2^L)}{\partial(\alpha, \beta)}$  проектирования многообразия  $\Lambda^L$  на соответственно плоскости  $\mathbb{R}_x^2$  и  $\mathbb{R}_{\mathbf{p}}^2$  имеют вид

$$\begin{aligned} \frac{\partial \mathbf{X}^L}{\partial(\alpha, \beta)} &= (R_0 \sigma_0 \mathbf{n}_\perp(\alpha + \beta) \cos \beta, \\ &-R_0 \sigma_0 (\mathbf{n}(\alpha + \beta) \sin \beta - \mathbf{n}_\perp(\alpha + \beta) \cos \beta)), \end{aligned}$$

$$\begin{aligned} \frac{\partial \mathbf{P}^L}{\partial(\alpha, \beta)} &= (-R_0 \sigma_0 \mathbf{n}_\perp(\alpha + \beta) \sin \beta, \\ &-R_0 \sigma_0 (\mathbf{n}(\alpha + \beta) \cos \beta + \mathbf{n}_\perp(\alpha + \beta) \sin \beta)), \end{aligned} \quad (19)$$

$$\mathbf{n}_\perp(\gamma) = \begin{pmatrix} -\sin \gamma \\ \cos \gamma \end{pmatrix}, \quad (20)$$

и якобиан проектирования на плоскость  $\mathbb{R}_x^2$  определяется выражением

$$J^L = \det \frac{\partial \mathbf{X}^L}{\partial(\alpha, \beta)} = \frac{R_0^2}{2} \sin(2\beta).$$

Таким образом, фокальные точки на  $\Lambda^L$  определяются уравнениями  $\beta = 0$ , тогда  $\mathbf{x} = R_0 \mathbf{n}(\alpha)$ , или  $\beta = \pi/2$ , тогда  $\mathbf{x} = 0$ .

Множество  $\mathbf{x} = R_0 \mathbf{n}(\alpha)$  образует окружность  $\Gamma$  радиусом  $R_0$ . Ее прообраз на  $\Lambda^L$  — также окружность в фазовом пространстве, лежащая в плоскости  $\mathbf{p} = 0$ . При этом каустика  $\Gamma$  — простая, ранг матрицы Якоби на ней равен 1.

Точка  $\mathbf{x} = 0$  — фокальная точка — лагранжева сингулярность не общего положения, ее прообраз на  $\Lambda^L$  — окружность  $|\mathbf{p}| = R_0 \sigma_0$  в плоскости  $\mathbf{x} = 0$  в четырехмерном фазовом пространстве.

4. Проекция  $\Lambda^L$  на конфигурационную плоскость — это круг  $|\mathbf{x}| \leq R_0$ , а граница этого круга — простая каустика  $\Gamma$ . При этом  $\Lambda^L$  накрывает  $0 < |\mathbf{x}| < R_0$  двукратно. Точка  $\mathbf{x}^0 = R_0 \mathbf{n}(\alpha^0 + \beta^0) \cos \beta^0$  имеет два прообраза на  $\Lambda^L$ : точку  $(\alpha = \alpha^0, \beta = \beta^0)$  и точку  $(\alpha = \alpha^0 + 2\beta^0, \beta = \pi - \beta^0)$ .

Для определения канонического оператора следует зафиксировать центральную точку. Выберем ее в виде  $\alpha = +0, \beta = +0$ .

5. Вычислим индексы Маслова путей в неособых точках. Рассмотрим путь  $\{\alpha = +0, \beta = t | t \in [0, \pi]\}$ . В центральной точке с координатами  $\alpha = +0, \beta = +0$  якобиан  $J^L$  положителен, и мы выберем индекс в этой точке равным 0. Поскольку якобиан в точках с координатой  $\beta \in (+0, \pi/2 - 0)$  также положителен, то индекс в таких точках тоже равен 0. Вычислим индекс в точках с координатами

$\beta \in (\pi/2 + 0, \pi - 0)$ . Для этого нужно вычислить приращение аргумента функции

$$\begin{aligned} J_\varepsilon &= \det \frac{\partial(\mathbf{X}^L - i\varepsilon\mathbf{P}^L)}{\partial(\alpha, \beta)} = \\ &= \frac{R_0^2}{2} \left( \sin(2\beta) \left( 1 + \sigma_0^2 \varepsilon^2 \right) - 2i\sigma_0 \varepsilon \cos(2\beta) \right) \end{aligned}$$

при изменении  $\beta$  от  $\beta = \pi/2 - 0$  до  $\beta = \pi/2 + 0$ . Это приращение легко определяется и равно  $\pi$ . Таким образом, индекс в точках  $\beta \in (\pi/2 + 0, \pi - 0)$  равен 1.

6. Базисные замкнутые пути на  $\Lambda^L$  задаются равенствами

$$\gamma_1 : \alpha = \alpha_0, \quad \gamma_2 : \beta = \beta_0 \neq 0, \frac{\pi}{2}.$$

Индекс пути  $\gamma_1$  равен 2, что дает условие квантования

$$\frac{1}{2\pi h} \int_{\gamma_1} \langle \mathbf{p}, d\mathbf{x} \rangle = \frac{R_0^2 \sigma_0}{4h} = \frac{1}{2} + m, \quad m \in \mathbb{Z}, \quad (21)$$

которое выполняется для  $R_0^2 = \frac{h}{\sigma_0} (4m + 2)$ .

Индекс пути  $\gamma_2$  равен 0, что дает условие квантования

$$\frac{1}{2\pi h} \int_{\gamma_2} \langle \mathbf{p}, d\mathbf{x} \rangle = 0,$$

которое выполняется автоматически.

7. В окрестности каустики  $\Gamma$  (что соответствует  $\beta = 0$ ) справедливо разложение

$$\begin{aligned} \mathbf{P}^L &= -R_0 \sigma_0 \mathbf{n}(\alpha) \left( \beta + O(\beta^3) \right), \\ \mathbf{X}^L &= R_0 \mathbf{n}(\alpha) \left( 1 - \frac{1}{2} \beta^2 + O(\beta^4) \right), \end{aligned}$$

т.е. по нормали к каустике имеем нормальную форму, соответствующую функции Эйри и ее производной.

В окрестности фокальной точки  $\mathbf{x} = 0$  (что соответствует  $\beta = \frac{\pi}{2}$ ) имеем разложение

$$\begin{aligned} \mathbf{P}^L &= -R_0 \sigma_0 \mathbf{n}(\alpha + \pi/2) \left( 1 - O\left(\left(\beta - \frac{\pi}{2}\right)^2\right) \right), \\ \mathbf{X}^L &= -R_0 \mathbf{n}(\alpha + \pi/2) \left( \left(\beta - \frac{\pi}{2}\right) + O\left(\left(\beta - \frac{\pi}{2}\right)^3\right) \right), \end{aligned}$$

то есть в окрестности этой точки имеем нормальную форму, соответствующую функции Бесселя  $J_0$  и ее производной.

Используя соображения из разд. 2, приводящие к представлению канонического оператора через функции Бесселя в окрестности фокальной точки, порожденной вырожденной складкой, и аналогичные соображения, позволяющие представить канонический оператор через функции Эйри в окрестности простой невырожденной каустики (складки) [8], приходим к глобальному представлению  $K_{\Lambda^L}[1]$  с помощью функций Бесселя и Эйри. Полный вывод этих формул приведен в более общем случае в разд. 4.2.

*Утверждение 3.* Для старшей части канонического оператора на  $\Lambda^L$  в области  $|x| < \sqrt{\frac{(4m+2)h}{\sigma_0}} - \varepsilon$  с малым  $\varepsilon > 0$  имеется следующее глобальное представление в виде функции Бесселя:

$$\begin{aligned} K_{\Lambda^L}[1] &\approx (-1)^m \exp\left(\frac{i\pi}{4}\right) 2\sqrt{\pi} \sqrt{\frac{\sigma_0}{h}} \times \\ &\times \frac{\sqrt{\Psi\left(\sqrt{\frac{\sigma_0}{h}}|x|, m\right)}}{\sqrt{\sqrt{\frac{\sigma_0}{h}}|x|} \sqrt{(4m+2) - \frac{\sigma_0}{h}|x|^2}} J_0\left(\Psi\left(\sqrt{\frac{\sigma_0}{h}}|x|, m\right)\right), \end{aligned}$$

где

$$\begin{aligned} \Psi(r, m) &= (2m+1) \left( \frac{\pi}{2} - \arccos \frac{r}{\sqrt{4m+2}} \right) + \\ &+ \frac{r}{2} \sqrt{(4m+2) - r^2}. \end{aligned} \quad (22)$$

В окрестности  $|x| > \varepsilon$  для старшей части канонического оператора справедливо следующее представление в виде функции Эйри:

$$\begin{aligned} K_{\Lambda^L}[1] &\approx \exp\left(\frac{i\pi}{4}\right) 2\sqrt{\pi} \sqrt{\frac{\sigma_0}{h}} \times \\ &\times \frac{\sqrt{2} \left| \Phi\left(\sqrt{\frac{\sigma_0}{h}}|x|, m\right) \right|^{1/4}}{\sqrt{\sqrt{\frac{\sigma_0}{h}}|x|} \sqrt{(4m+2) - \frac{\sigma_0}{h}|x|^2}} \text{Ai}\left(\Phi\left(\sqrt{\frac{\sigma_0}{h}}|x|, m\right)\right), \end{aligned}$$

где

$$\Phi(r, m) = \begin{cases} -\left(\frac{3}{2}\left((2m+1)\arccos \frac{r}{\sqrt{4m+2}} - \frac{r}{2}\sqrt{(4m+2) - r^2}\right)\right)^{2/3}, & r \leq \sqrt{4m+2}, \\ \left(\frac{3}{2}\left((2m+1)\operatorname{arch} \frac{r}{\sqrt{4m+2}} - \frac{r}{2}\sqrt{r^2 - (4m+2)}\right)\right)^{2/3}, & r > \sqrt{4m+2}. \end{cases} \quad (23)$$

*Замечание 7.* Приведенные формулы дают асимптотику пучков Лагерра–Гаусса, определяемых полиномом Лагерра  $L_m$  ( $m \in \mathbb{Z}$ ) следующим образом [13], см. также [15]:

$$\nu_0(x) = CL_m\left(\frac{\sigma_0|\mathbf{x}|^2}{h}\right)\exp\left(-\frac{\sigma_0|\mathbf{x}|^2}{2h}\right), \quad (24)$$

где

$$C = (-1)^m \exp\left(\frac{i\pi}{4}\right) 2\sqrt{\pi} \sqrt{\frac{\sigma_0}{h}}.$$

Действительно, функция (24) радиально-симметрична и является собственной функцией оператора Шредингера для гармонического осциллятора  $-h^2\Delta + \sigma_0^2(x_1^2 + x_2^2)$  с собственным значением  $\mathcal{E}_m = \sigma_0 h(4m + 2)$  (ср. с (21) с учетом  $\mathcal{E} = R_0^2\sigma_0^2$ ). Сравнение графиков функции, определяемой формулой (24), и полученной асимптотики приведено на рис. 4.

*Замечание 8.* С учетом предыдущего замечания полученные формулы дают асимптотику полиномов Лагерра при больших значениях индекса. Именно, при больших (целых)  $n$  и  $r^2 < b(4n + 2)$ ,  $b < 1$ , получаем

$$L_n(r^2)\exp(-r^2/2) \approx \frac{\sqrt{\Psi(r, n)}}{\sqrt[4]{r^2(4n + 2 - r^2)}} J_0(\Psi(r, n)),$$

а в окрестности  $r^2 > a, a > 0$  –

$$\begin{aligned} L_n(r^2)\exp(-r^2/2) &\approx \\ &\approx (-1)^n \sqrt{2} \frac{|\Phi(r, n)|^{1/4}}{\sqrt[4]{r^2|4n + 2 - r^2|}} \text{Ai}(\Phi(r, n)). \end{aligned}$$

Приведенная асимптотика согласуется с известными результатами для полиномов Лагерра, в частности, с асимптотикой в работах [16, 17].

#### 4.2. Динамика лагранжева многообразия и асимптотика пучков Лагерра–Гаусса

Как упоминалось выше, асимптотика решения задачи (17) определяется каноническим оператором  $K_{\Lambda_z^L}^{-1}$  на лагранжевом многообразии

$\Lambda_z^L = g_z^*(\Lambda^L)$ , полученным сдвигом  $\Lambda^L$  вдоль гамильтонова векторного поля с гамильтонианом  $\mathcal{L} = -\frac{1}{2k}(p_1^2 + p_2^2)$  на время  $z$ . Это многообразие имеет вид

$$\begin{aligned} \Lambda_z^L &= \{\mathbf{p} = \mathbf{P}_z^L(\alpha, \beta, t) \equiv \mathbf{P}^L(\alpha, \beta), \\ \mathbf{x} &= \mathbf{X}_z^L(\alpha, \beta, t) \equiv \mathbf{X}^L(\alpha, \beta) - \frac{z}{k} \mathbf{P}^L(\alpha, \beta), \quad (25) \\ \alpha &\in (-\pi, \pi], \quad \beta \in [0, \pi)\}. \end{aligned}$$

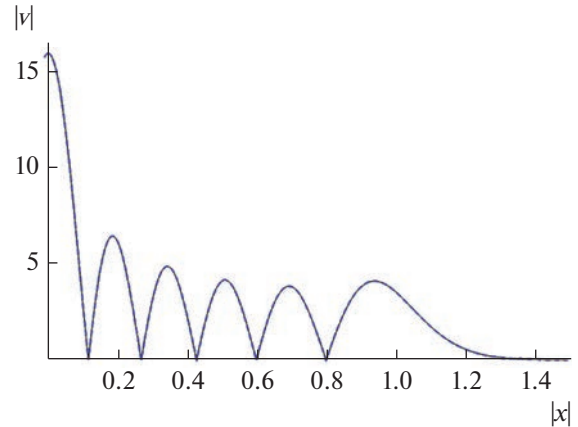


Рис. 4. График модуля (24) при  $z = 0$  (сплошная кривая) и асимптотики из утверждения 3 (штриховая) для  $h = 0.1, m = 5, k = 3, \sigma_0 = 2$ .

Несложно убедиться, что вектор-функции  $\mathbf{P}_z^L$  и  $\mathbf{X}_z^L$  определяются выражениями

$$\mathbf{X}_z^L(\alpha, \beta) = R_0 \frac{\sqrt{k^2 + \sigma_0^2 z^2}}{k} \mathbf{n}(\alpha + \beta) \cos(\beta - \delta_*), \quad (26)$$

$$\begin{aligned} \mathbf{P}_z^L(\alpha, \beta) &= -R_0 \sigma_0 \mathbf{n}(\alpha + \beta) \sin \beta = \\ &= -\frac{R_0 k \sigma_0}{\sqrt{k^2 + \sigma_0^2 z^2}} \mathbf{n}(\alpha + \beta) \sin(\beta - \delta_*) - \left( \frac{\partial F}{\partial x_1} \right)_{x=x_z^L}, \quad (27) \end{aligned}$$

$$\begin{aligned} \delta_* &= \arccos \frac{k}{\sqrt{k^2 + \sigma_0^2 z^2}}, \\ F &= \frac{zk\sigma_0^2}{(k^2 + \sigma_0^2 z^2)} \frac{x_1^2 + x_2^2}{2}. \end{aligned} \quad (28)$$

*Замечание 9.* Параметризация  $\Lambda_z^L$  имеет вид, схожий с параметризацией  $\Lambda^L$ . Действительно,

$$\mathbf{P}_z^L = -R_z \sigma_z \mathbf{n}(\alpha' + \beta') \sin \beta' - \frac{\partial F}{\partial \mathbf{x}} \Big|_{\mathbf{x}=\mathbf{x}_z^L},$$

$$\mathbf{X}_z^L = R_z \mathbf{n}(\alpha' + \beta') \cos(\beta'),$$

где

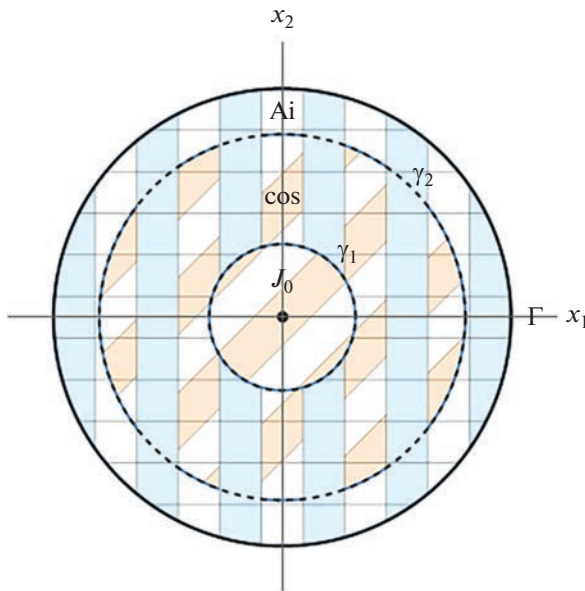
$$\alpha' = \alpha + \delta_*, \quad \beta' = \beta - \delta_*,$$

$$R_z^2 = \frac{R_0^2}{k^2} (k^2 + \sigma_0^2 z^2), \quad \sigma_z = \frac{\sigma_0 k^2}{k^2 + \sigma_0^2 z^2}.$$

В силу последнего замечания свойства лагранжева многообразия  $\Lambda_z^L$  схожи со свойствами  $\Lambda^L$ . Перечислим основные из них.

1. Якобиан проектирования на  $\mathbb{R}_x^2$  имеет вид

$$J_z^L = \frac{R_z^2}{2} \sin(2\beta') = \frac{R_0^2 (k^2 + \sigma_0^2 z^2)}{2k^2} \sin(2(\beta - \delta_*)).$$



**Рис. 5.** Проекция лагранжева многообразия на плоскость  $\mathbb{R}_x^2$  – круг. Внешняя окружность  $\Gamma$  – простая каустика. В достаточно большой ее окрестности – кольце, ограниченном окружностями  $\Gamma$  и  $\gamma_1$ , асимптотика представляется в виде функции  $Ai$ . В достаточно широкой окрестности особой точки  $|x| = 0$  – круге, ограниченном окружностью  $\gamma_2$ , асимптотика представляется в виде функции Бесселя  $J_0$ . В пересечении этих областей (кольце, ограниченном окружностями  $\gamma_1$  и  $\gamma_2$ ) имеет место ВКБ-асимптотика, которую можно представить в виде тригонометрических функций. Поскольку в этой области работает также асимптотика и через функцию Эйри, и через функцию Бесселя, то сравнивая асимптотики этих функций с ВКБ-асимптотикой, можно получить выражения для их аргументов.

2. Фокальная точка  $\beta = \delta_*$  ( $\beta' = 0$ ) соответствует простой каустике  $\Gamma$ , которая является окружностью

$$|x| = \frac{R_0}{k} \sqrt{k^2 + \sigma_0^2 z^2} \equiv R_z.$$

В достаточно широкой окрестности этой каустики ( $|x| > \varepsilon$  с некоторым  $\varepsilon > 0$ ) асимптотика определяется линейной комбинацией функции Эйри  $Ai$  и ее производной ([8] и рис. 5), т.е.

$$\begin{aligned} \left[ K_{\Lambda_z^L} 1 \right] &\approx \exp\left(\frac{i}{h} \Sigma_A(x, z)\right) \times \\ &\times \left( A_1(x, z) Ai\left(\frac{\Phi_z(x)}{h^{2/3}}\right) + A_2(x, z) Ai'\left(\frac{\Phi_z(x)}{h^{2/3}}\right) \right). \end{aligned} \quad (29)$$

Фокальные точки  $\beta = \frac{\pi}{2} + \delta_*$  ( $\beta' = \frac{\pi}{2}$ ) соответствуют особой точке  $|x| = 0$ , в достаточно широкой окрестности которой ( $|x| < R_z - \varepsilon$ ) асимптотика

определяется линейной комбинацией функций Бесселя  $J_0$  и  $J_1$  [11], а именно

$$\begin{aligned} \left[ K_{\Lambda_z^L} 1 \right] &\approx \exp\left(\frac{i}{h} \Sigma_J(x, z)\right) \times \\ &\times \left( B_1(x, z) J_0\left(\frac{\Psi_z(x)}{h}\right) + B_2(x, z) J_1\left(\frac{\Psi_z(x)}{h}\right) \right). \end{aligned} \quad (30)$$

3. Лагранжево многообразие проектируется в круг  $|x| \leq R_z$ , при этом каждая неособая точка  $x^0 = R_z n (\alpha^0 + \beta^0) \cos(\beta^0 - \delta_*)$  имеет два прообраза

$$\begin{aligned} \beta^1 &= \beta^0, \quad \alpha^1 = \alpha^0 \quad \text{и} \quad \beta^2 = \pi + \delta_* - \beta^0, \\ \alpha^2 &= \alpha^0 + 2\beta^0 - \delta_*. \end{aligned}$$

Определим фазы. За счет сдвига по времени появляется фазовый множитель, определяемый гамильтонианом  $\mathcal{L} = -\frac{1}{2}(p_1^2 + p_2^2)$  следующим образом:

$$\int_0^t (\langle \mathbf{p}, \dot{\mathbf{L}}_p \rangle - \mathcal{L}) \Big|_{\substack{\alpha=+0, \\ \beta=+0}} dt = 0,$$

так как в отмеченной точке  $\beta = +0$  на многообразии  $\Lambda_z^L$  значение  $\mathbf{p}^2$  равно нулю. Далее можно рассматривать многообразие  $\Lambda_z^L$  при фиксированном  $z$  с отмеченной точкой  $\alpha = +0, \beta = +0$ , как и на начальном лагранжевом многообразии. Путь интегрирования  $\gamma^i$  в точку  $(\alpha^i, \beta^i)$  определим следующим образом:

$$\begin{aligned} \gamma^i &= \gamma_1^i \cup \gamma_2^i, \\ \gamma_1^i &= \{\alpha = +0, \beta = s \mid s \in [+0, \beta^i]\}, \\ \gamma_2^i &= \{\alpha = s, \beta = \beta^i \mid s \in [+0, \alpha^i]\}. \end{aligned}$$

Тогда действия имеют вид

$$\begin{aligned} S^1 &= \int_{\gamma^1} \langle \mathbf{p}, d\mathbf{x} \rangle = R_0^2 \sigma_0 \int_0^{\beta^1} \sin^2(\beta - \beta_*) d\beta - \\ &- \left( F(x_1, x_2) - \frac{R_0^2 \sigma_0^2 z k}{2(k^2 + \sigma_0^2 z^2)} \right) = \\ &= \frac{R_0^2 \sigma_0}{2} \arccos \frac{|x|}{R_z} - \frac{\sigma_z |x|}{2} \sqrt{R_z^2 - |x|^2} + \\ &+ \frac{R_0^2 \sigma_0}{2} \arccos \frac{k}{\sqrt{k^2 + \sigma_0^2 z^2}} - \frac{|x|^2}{2} \frac{\sigma_0^2 z k}{(k^2 + \sigma_0^2 z^2)}, \end{aligned} \quad (31)$$

$$\begin{aligned} S^2 = \int_{\gamma^2} \langle \mathbf{p}, d\mathbf{x} \rangle &= \frac{R_0^2 \sigma_0}{2} \left( \pi - \arccos \frac{|\mathbf{x}|}{R_z} \right) + \\ &+ \frac{\sigma_z |\mathbf{x}|}{2} \sqrt{R_z^2 - |\mathbf{x}|^2} + \frac{R_0^2 \sigma_0}{2} \arccos \frac{k}{\sqrt{k^2 + \sigma_0^2 z^2}} - \quad (32) \\ &- \frac{|\mathbf{x}|^2}{2} \frac{\sigma_0^2 z k}{(k^2 + \sigma_0^2 z^2)}. \end{aligned}$$

Таким образом, вне окрестности каустик ( $\varepsilon < |\mathbf{x}| < R_z - \varepsilon$ ) для канонического оператора работает ВКБ-представление, которое имеет вид

$$\begin{aligned} K_{\Lambda_z^L}[1] &\approx \frac{\sqrt{2}}{\sqrt{|\mathbf{x}| \sqrt{R_z^2 - |\mathbf{x}|^2}}} \times \\ &\times \left( \exp \left( \frac{i}{h} S^1 \right) + \exp \left( -\frac{i\pi}{2} + \frac{i}{h} S^2 \right) \right) = \\ &= \frac{2\sqrt{2} A_0}{\sqrt{|\mathbf{x}| \sqrt{R_z^2 - |\mathbf{x}|^2}}} \exp \left( \frac{i\pi}{4h} R_0^2 \sigma_0 + \frac{i}{h} \Theta - \frac{i\pi}{4} \right) \times \quad (33) \\ &\times \cos \left( \frac{\mathcal{G}}{h} - \frac{\pi}{4} \right) = \\ &= \frac{(-1)^m 2\sqrt{2} \exp \left( \frac{i}{h} \Theta - \frac{i\pi}{4} \right)}{\sqrt{|\mathbf{x}| \sqrt{R_z^2 - |\mathbf{x}|^2}}} \cos \left( \frac{\mathcal{G}}{h} - \frac{\pi}{4} \right), \end{aligned}$$

$$\mathcal{G} = \frac{R_0^2 \sigma_0}{2} \left( \frac{\pi}{2} - \arccos \frac{|\mathbf{x}|}{R_z} \right) + \frac{\sigma_z |\mathbf{x}|}{2} \sqrt{R_z^2 - |\mathbf{x}|^2}, \quad (34)$$

$$\Theta = \frac{R_0^2 \sigma_0}{2} \arccos \frac{k}{\sqrt{k^2 + \sigma_0^2 z^2}} - \frac{|\mathbf{x}|^2}{2} \frac{\sigma_0^2 z k}{(k^2 + \sigma_0^2 z^2)}. \quad (35)$$

Сравнивая представление (30) с ВКБ-асимптотикой (33), при этом учитывая асимптотику функций Бесселя при больших аргументах

$$\begin{aligned} J_0(y) &\approx \frac{\sqrt{2}}{\sqrt{\pi} \sqrt{y}} \cos \left( y - \frac{\pi}{4} \right), \\ J_1(y) &\approx -\frac{\sqrt{2}}{\sqrt{\pi} \sqrt{y}} \cos \left( y + \frac{\pi}{4} \right), \quad y \rightarrow +\infty, \quad (36) \end{aligned}$$

определяем функции

$$\begin{aligned} K_{\Lambda_z^L}[1] &\approx (-1)^m \exp \left( \frac{i\pi}{4} \right) 2\sqrt{\pi} \sqrt{\frac{\sigma_0}{h}} \exp \left( i(2m+1) \arccos \frac{k}{\sqrt{k^2 + \sigma_0^2 z^2}} - \frac{ik \sigma_0^2 z |\mathbf{x}|^2}{2h(z^2 \sigma_0^2 + k^2)} \right) \frac{k}{\sqrt{k^2 + \sigma_0^2 z^2}} \times \\ &\times \frac{\sqrt{\Psi \left( \sqrt{\frac{k^2 \sigma_0}{h(k^2 + \sigma_0^2 z^2)}} |\mathbf{x}|, m \right)}}{\sqrt{\sqrt{\frac{k^2 \sigma_0}{h(k^2 + \sigma_0^2 z^2)}} |\mathbf{x}| \sqrt{(4m+2) - \frac{k^2 \sigma_0}{h(k^2 + \sigma_0^2 z^2)} |\mathbf{x}|^2}}} J_0 \left( \Psi \left( \sqrt{\frac{k^2 \sigma_0}{h(k^2 + \sigma_0^2 z^2)}} |\mathbf{x}|, m \right) \right), \end{aligned}$$

$$\begin{aligned} \Sigma_j &= \Theta + \pi hm, \quad \Psi_z = \mathcal{G}, \\ B_1 &= \frac{2\sqrt{\pi} \exp \left( \frac{i\pi}{4} \right) |\Psi|^{1/2}}{\sqrt{h} |\mathbf{x}| \sqrt{R_z^2 - |\mathbf{x}|^2}}, \quad B_2 = 0. \end{aligned} \quad (37)$$

Отметим, что с учетом

$$\frac{R_z^2 \sigma_z}{h} = \frac{R_0^2 \sigma_0}{h} = (4m+2)$$

(см. (21)) выражение (33) преобразуется к виду

$$\begin{aligned} &\frac{2\sqrt{2} \exp \left( \frac{i\pi}{4} + \frac{i}{h} \Theta \right)}{\sqrt{|\mathbf{x}| \sqrt{R_z^2 - |\mathbf{x}|^2}}} \cos \left( \frac{\mathcal{F}}{h} - \frac{\pi}{4} \right), \\ \mathcal{F} &= \frac{R_0^2 \sigma_0}{2} \arccos \frac{|\mathbf{x}|}{R_z} - \frac{\sigma_z |\mathbf{x}|}{2} \sqrt{R_z^2 - |\mathbf{x}|^2}. \end{aligned} \quad (38)$$

Сравнивая представление (29) с (38) вне окрестности каустики и используя асимптотику функции Эйри и ее производной при больших аргументах ( $y \rightarrow +\infty$ )

$$\begin{aligned} \text{Ai}(-y) &\approx \frac{1}{\sqrt{\pi} y^{1/4}} \sin \left( \frac{2}{3} y^{3/2} + \frac{\pi}{4} \right), \\ \text{Ai}'(-y) &\approx -\frac{y^{1/4}}{\sqrt{\pi}} \cos \left( \frac{2}{3} y^{3/2} + \frac{\pi}{4} \right), \end{aligned}$$

можно определить функции

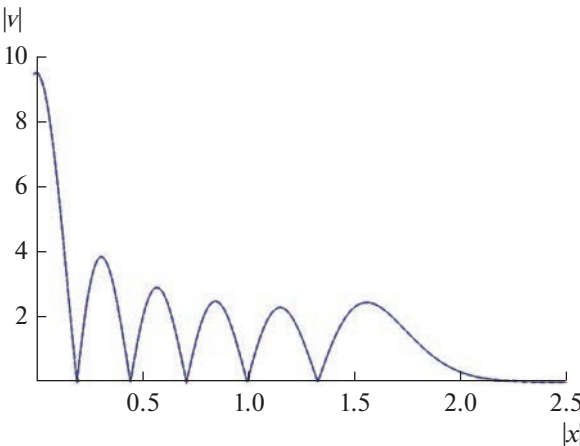
$$\begin{aligned} \Sigma_A &= \Theta, \quad \Phi = -\left( \frac{3}{2} \mathcal{F} \right)^{2/3}, \\ A_1 &= \frac{2\sqrt{2} \pi \exp \left( \frac{i\pi}{4} \right) |\Phi|^{1/4}}{h^{1/6} \sqrt{|\mathbf{x}| \sqrt{R_z^2 - |\mathbf{x}|^2}}}, \quad A_2 = 0. \end{aligned}$$

Окончательно приходим к утверждению.

*Утверждение 4.* В окрестности

$$|\mathbf{x}| < \sqrt{(4m+2) h \frac{k^2 + \sigma_0^2 z^2}{k^2 \sigma_0}} - \varepsilon$$

(с малым  $\varepsilon > 0$ ) старший член канонического оператора, определяющего асимптотику пучка Лагерра–Гаусса, представляется в виде



**Рис. 6.** График модуля (39) при  $z = 2$  (сплошная линия) и модуля асимптотики из утверждения 4 (штриховая линия) для  $h = 0.1$ ,  $m = 5$ ,  $k = 3$ ,  $\sigma_0 = 2$ .

где  $\Psi(r, m)$  определяется выражением (22).

В окрестности  $|x| > \varepsilon$  старший член такого канонического оператора представляется в виде

$$\begin{aligned} K_{\Lambda_z^L}[1] \approx & \exp\left(\frac{i\pi}{4}\right) 2\sqrt{\pi} \sqrt{\frac{\sigma_0}{h}} \times \\ & \times \exp\left(i(2m+1)\arccos \frac{k}{\sqrt{k^2 + \sigma_0^2 z^2}} - \right. \\ & \left. - \frac{ik\sigma_0^2 z |\mathbf{x}|^2}{2h(k^2 + \sigma_0^2 z^2)}\right) \frac{k}{\sqrt{k^2 + \sigma_0^2 z^2}} \times \\ & \times \sqrt{2} \left| \Phi\left(\sqrt{\frac{k^2 \sigma_0}{h(k^2 + \sigma_0^2 z^2)}} |\mathbf{x}|, m\right) \right|^{1/4} \times \\ & \times \sqrt{\sqrt{\frac{k^2 \sigma_0}{h(k^2 + \sigma_0^2 z^2)}} |\mathbf{x}|} \sqrt{(4m+2) - \frac{k^2 \sigma_0}{h(k^2 + \sigma_0^2 z^2)} |\mathbf{x}|^2} \times \\ & \times \text{Ai}\left(\Phi\left(\sqrt{\frac{k^2 \sigma_0}{h(k^2 + \sigma_0^2 z^2)}} |\mathbf{x}|, m\right)\right), \end{aligned}$$

где  $\Phi$  определяется выражением (23).

**Замечание 10.** При произвольном  $z$  пучки Лагерра–Гаусса определяются через полиномом Лагерра  $L_m$  следующим образом [13]:

$$\begin{aligned} v(z, \mathbf{x}) = & C \frac{k}{\sqrt{k^2 + \sigma_0^2 z^2}} L_m\left(\frac{k^2 \sigma_0 |\mathbf{x}|^2}{h(k^2 + \sigma_0^2 z^2)}\right) \times \\ & \times \exp\left(-\frac{ik|\mathbf{x}|^2}{2h}\left(\frac{(\sigma_0 z - ik)\sigma_0}{\sigma_0^2 z^2 + k^2}\right) - \right. \\ & \left. - \frac{ikz}{h} + i(2m+1)\operatorname{arctg}\frac{\sigma_0 z}{k}\right), \quad (39) \end{aligned}$$

где  $C = (-1)^m \exp\left(\frac{i\pi}{4}\right) 2\sqrt{\pi} \sqrt{\frac{\sigma_0}{h}}$ .

Сравнение полученных асимптотик с графиком (39) проиллюстрировано на рис. 6.

## ЗАКЛЮЧЕНИЕ

В данной работе представлен геометрический подход к построению асимптотик гауссовых пучков, основанный на лагранжевых многообразиях и теории канонического оператора Маслова. Тип особенностей на соответствующем многообразии задает специальную функцию, определяющую асимптотику в окрестности (достаточно широкой) этой особенности. При этом аргументы этих функций могут быть легко определены из соображения сравнения анзаца специального вида с ВКБ-асимптотикой в регулярной области.

Мы проиллюстрировали этот подход на примере пучков Бесселя и Лагерра–Гаусса. При этом асимптотики обоих пучков в центре пучка определяются функциями Бесселя. Принципиальное отличие этих пучков связано с локализацией. Вопрос локализации связан с проекцией лагранжева многообразия на физическую плоскость. Если проекция является ограниченной областью, то пучок локализован, в противном случае — нет. Такая ситуация имеет место для пучка Бесселя. Однако использование срезающей функции позволяет его локализовать. При этом при движении вдоль оси  $z$  носитель срезающей функции также движется, поэтому для локализованного пучка Бесселя имеет место фокусировка (см. рис. 2а). Пучок фокусируется при  $z = 0$ , а далее, при движении вдоль оси  $z$ , его носитель на плоскости  $(x_1, x_2)$  начинается расплзаться.

В случае пучка Лагерра–Гаусса такой проблемы не возникает, поскольку при любом  $z$  его носитель на плоскости  $(x_1, x_2)$  является кругом с центром в нуле (см. рис. 2б). При этом асимптотика в окрестности границы носителя определяется функцией Эйри, и пучок экспоненциально затухает вне этого круга.

Отметим также, что полученные формулы для асимптотик в виде специальных функций носят глобальный характер и легко визуализируются на компьютере.

Авторы заявляют об отсутствии конфликта интересов.

## ФИНАНСИРОВАНИЕ РАБОТЫ

Работа выполнена при финансовой поддержке Российского научного фонда (проект № 21-11-00341).

## СПИСОК ЛИТЕРАТУРЫ

1. Арнольд В.И., Варченко А.Н., Гусейн-Заде С.М. Особенности дифференцируемых отображений. М.: Наука, 1982.
2. Крюковский А.С., Лукин Д.С., Палкин Е.А., Растворов Д.В. // Труды МФТИ. 2009. Т. 1. № 2. С. 54.
3. Крюковский А.С. Равномерномерная асимптотическая теория краевых и угловых волновых катастроф. М.: РосНОУ, 2013.
4. Bova J.I., Lukin D.S., Kryukovskii A.S. // Russ. J. Math. Phys. 2020. V. 27. № 4. P. 446.
5. Маслов В.П. Теория возмущений и асимптотические методы. М.: Изд-во МГУ, 1965.
6. Маслов В.П., Федорюк М.В. Квазиклассическое приближение для уравнений квантовой механики. М.: Наука, 1967.
7. Доброхотов С.Ю., Назайкинский В.Е., Шафаревич А.И. // Изв. РАН. Сер. матем. 2017. Т. 81. № 2. С. 53.
8. Аникин А.Ю., Доброхотов С.Ю., Назайкинский В.Е., Цветкова А.В. // Теорет. и матем. физика. 2019. Т. 201. № 3. Р. 382.
9. Доброхотов С.Ю., Миненков Д.С., Назайкинский В.Е. // Теорет. и матем. физика. 2021. Т. 208. № 2. С. 196.
10. Доброхотов С.Ю., Макракис Г., Назайкинский В.Е. // Теорет. и матем. физика. 2014. Т. 180. № 2. С. 162.
11. Аникин А.Ю., Доброхотов С.Ю., Назайкинский В.Е. // Матем. заметки. 2018. Т. 104. № 4. С. 483.
12. Маслов В.П. Комплексный метод ВКБ в нелинейных уравнениях. М.: Наука, 1977.
13. Салех Б., Тейх М. Оптика и фотоника. Принципы и применения. Долгопрудный: ИД Интеллект, 2012. Т. 1.
14. Киселев А.П. // Оптика и спектроскопия. 2004. Т. 96. № 4. С. 533.
15. Plachenov A.B., Chamorro-Posada P., Kiselev P. // Phys. Rev. A. 2020. V. 102. № 2. P. 023533.
16. Frenzen C.I., Wong R. // Siam J. Math. Anal. 1988. V. 19. № 5. P. 1232.
17. Dobrokhotov S.Yu., Tsvetkova A.V. // Rus. J. Math. Phys. 2021. V. 28. № 2. P. 198.